

# CDMA 셀룰라 시스템에서의 역방향 간섭 한계

김호준<sup>0</sup> 윤상희<sup>0</sup>

전주대학교

{junekim<sup>0</sup>, shy}@jeonju.ac.kr

## Reverse Link Interference Bounds in CDMA Cellular Systems

Hojoon Kim<sup>0</sup> Sangheum Yoon  
School of Information Technology and Computer Engineering  
Jeonju University

### 요약

CDMA 셀룰라 시스템의 용량은 간섭의 양에 따라 결정되므로 이 간섭량을 정확히 계산해야 시스템 성능 평가를 정확히 할 수 있다. 본 논문은 CDMA 셀룰라 시스템의 역방향 타셀 간섭량을 계산하기 위해 Riemann-Zeta 함수를 이용하여 임의의 전파 강쇄 지수에도 적용할 수 있는 근사식을 제시하고 시뮬레이션 결과와 비교하여 그 효용을 살펴 보았다. 제안된 근사식을 이용해 계산한 시스템 용량 상한식은 시뮬레이션을 통해 얻은 용량과 근사한 결과를 얻을 수 있었다. 제안된 타셀 간섭 근사식은 복합적인 전파 환경이 고려되어야 할 계층화 셀 시스템에서의 간섭 및 용량 계산과 알고리즘 검증에 유용하게 사용될 수 있을 것으로 생각된다.

### 1. 서론

CDMA 셀룰라 시스템은 용량이 간섭량에 의해 좌우되므로 시스템 성능을 평가 할 때 간단하고 정확한 간섭량 계산이 필요하다<sup>[1]</sup>. CDMA 시스템 연구 초기에는 이웃 셀에서의 간섭량을 자기셀의 간섭량으로부터 비례상수만큼 더해주는 방식으로 단일 셀 모델을 사용하여 계산하였고, 현재에도 해석적인 연구에서는 이 단일 셀 모델에 타셀 간섭율(other cell interference factor)을 고려하는 단순한 방식으로 계산하고 있다<sup>[2]</sup>. 타셀 간섭율은 주변 환경에 따라 전파 강쇄 정도가 다른 모든 상황에 맞는 계수가 아니다. 시뮬레이션은 다수의 주변 셀을 고려하여 실제 시스템처럼 운영해야 보다 현실적인 결과를 얻을 수 있다<sup>[3]</sup>. 그러나 계산 시간의 제한으로 일부 소수의 주변 셀만 존재하는 것처럼 운영할 수 밖에 없다. 이 때 몇 겹(tiers) 셀 까지 고려해야 할지를 경험에 의해 결정하였다. 이는 계산의 편의를 위한 것이었지 정확한 결과라고 볼 수는 없다. 충분히 큰 유한개의 이웃 셀을 고려한 셀룰라 시스템의 간섭량을 계산할 간편한 방법이 필요하다. 해석적인 접근 방식에서는 원형 셀 구조로 제한하거나<sup>[4]</sup>, 특정 파라미터에서만 적용 가능한 결과를 얻을 수 있었다<sup>[5]</sup>.

본 논문은 Riemann-Zeta 함수<sup>[6][7]</sup>를 사용하여 전파 강쇄 지수와 셀 반경에 따른 타셀 간섭량 및 셀 용량을 계산할 수 있는 근사식을 제공하고 시뮬레이션<sup>[8][9]</sup> 결과와 비교를 통해 그 유용성을 살펴본다.

### 2. 셀 모델과 간섭 계산

CDMA 시스템의 용량은 동일 셀 내에서의 간섭량과 동일 셀을 둘러싸고 있는 여러 겹 타셀에서의 간섭량에 의해 결정된다. 이 타셀 간섭은 고려하는 겹 수에 따라 증가하는 특성을 갖는다. 셀룰라 시스템은 정육각형 셀이 규칙적인 격자점에 존재하는 형태로 분석하는 것이 일반적이나 일부 연구에서는 분석이 쉽도록 단순화된 겹 구성을 사용하기도 하였다<sup>[4]</sup>. 본 논문에서는 그림 1과 같은 일반적인 정육각형 셀 구성 모델을 사용한다.

즉 중점으로부터 꼭지점 까지의 거리가  $R$ 인 정육각형 셀이 겹침이나 빈틈이 없이 총총히 구성된 형태를 갖는다. 이때 중심 셀의 여섯 면에 걸하고 있는 여섯 개의 셀을 첫번째 겹 셀군이라고 하고, 그 다음 열 두개의 셀을 두번째 겹 셀군이라고 하며 이와 같은 형태로  $n$ 겹 셀군이 존재한다. 이 셀 구조는  $60^\circ$ 마다 기본형 셀 배치가 반복되는 대칭 구조를 가지고 있으며,  $n$ 겹 셀군의 기본형 셀은  $n$ 개의 셀로 구성되므로  $n$ 겹 셀군에는 총  $6n$ 개의 셀이 존재한다. 가장 근접한 셀 중심간의 거리를  $2H$ , 중심셀  $C_{0,0}$ 과  $n$ 겹 셀과의 중심 거리는  $D$ , 한 셀에 속해있는 임의의 한 단말로부터의 중심셀 기지국과의 거리는  $D_x$ 가 된다. 또한 그 단말로부터 그 셀 기지국까지의 거리를  $r_x$ 라 한다. 이때  $n$ 겹 셀과 중심 셀과의 거리는 근사적으로  $D = 2Hn = \sqrt{3}Rn$ 이 된다.

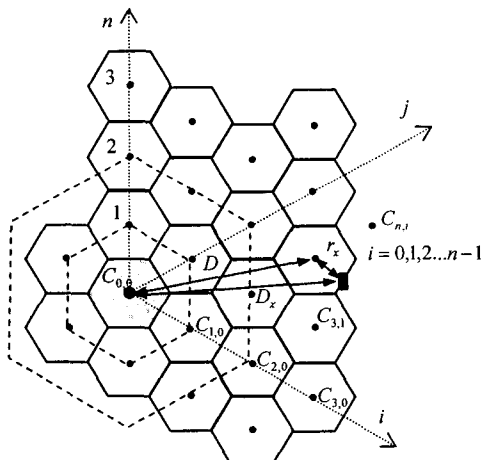


그림 1. 셀 구조와 좌표체계

각  $n$ 겹 셀 군의 면적은  $A_n = 6nA_0$ 이며, 이때 중심셀의 면적은  $A_0 = 3\sqrt{3}R^2/2$ 이고  $n$ 은 자연수이다.  $n$ 겹에 있는 셀 중 하나를  $C_x$ 라고 정의하고 이 셀에 속해 있으며 중심으로부터  $r_x$  만큼 떨어져 있는 한 단말이 송신한 전력은  $P_x$ 라 하고 기지국에 수신된 전력을  $P_0$ 라 하면 거리에 상관없이 일정한 전력으로 기지국에 수신되도록 완벽한 전력 제어를 이루었다는 전제 하에  $P_x = P_0 r_x^\gamma$  관계가 있다. 여기서  $\gamma$ 는 거리에 따른 전파 감쇄 지수로서 2~4의 값을 일반적으로 사용한다. 각 단말의 전력은 중심 셀  $C_{0,0}$ 의 기지국에 도달하여 다음과 같은 간섭이 된다.

$$I_x = P_0 r_x^\gamma \cdot D_x^{-\gamma} \quad (1)$$

중심 셀의 기지국에서 수신되는 간섭신호는 자기 셀 범위 내의 간섭과 그 외의 타 셀로부터의 간섭으로 나누어 생각할 수 있다. 각 셀에  $N_0$  개의 단말이 동작하고 있을 때 자기 셀 간섭은  $P_0(N_0 - 1)$ 이고, 타셀 간섭은 식(2)와 같이 계산할 수 있다.<sup>[2]</sup>

$$I_{\text{other}} = \iint_{\text{other}} P_0 r_x^\gamma D_x^{-\gamma} \rho dA = \frac{2N_0 P_0}{3\sqrt{3}R^2} \iint_{\text{other}} \left(\frac{r_x}{D_x}\right)^\gamma dA \quad (2)$$

이 타 셀 간섭 계산은 간단히 해결할 수 없으며  $\gamma=4$ 와 같이 특별한 조건 하에 근사식으로 해결하거나<sup>[5]</sup> 시뮬레이션을 통해 계산한다. 본 논문에서는 모든 감쇄 정수  $\gamma$ 에 대해 계산이 가능한 근사식을 제시하고자 한다.

### 3. 최대 간섭 상한선

단말들은 정육각형 셀에 고루 분포하는 것이 정상이나 그림 2와 같이 중심셀에 가장 근접한 곳에 집중되거나 가장 먼 곳에 집중되면 최대 간섭과 최소 간섭이 발생한다. 그 거리의 차이는 셀 중점 거리에서 정육각형 변과의 거리인  $H/2$ 만큼 가깝거나 먼 것으로 단순화 할 수 있다. 즉  $N_0$ 개의 단말이 모두  $D-H$  위치에 있을 때 중심 셀로의 간섭이 최대가 된다. 따라서 다음과 같이 최대 간섭 상한선을 계산할 수 있다.

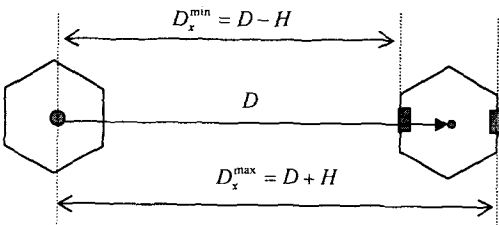


그림 2. 단말의 위치에 따른 간섭의 극한

식(1)에  $r_x = H$ ,  $D_x = D-H$ 를 적용하면  $n$ 겹 셀군으로 부터의 간섭량 상한은 식(3)과 같다.

$$I \leq 6P_0 N_0 n H^\gamma (D-H)^{-\gamma} = 6P_0 N_0 \frac{n H^\gamma}{(\sqrt{3}Rn - H)^\gamma} \quad (3)$$

$$= \frac{6P_0 N_0 H^\gamma}{(\sqrt{3}R)^\gamma} \frac{n}{\left(n - \frac{H}{\sqrt{3}R}\right)^\gamma} \quad (3)$$

$$= \frac{6P_0 N_0}{2^\gamma} \frac{n}{(n-0.5)^\gamma} = I_{\max}^n \quad (4)$$

$$I(n) \leq \frac{6P_0 N_0}{2^\gamma} \sum_{k=1}^n \frac{k}{(k-0.5)^\gamma} = I_{\max}(n) \quad (4)$$

임의의 셀 겹 수  $n$  까지 간섭의 합은 식(4)과 같은 상한 한계식으로 주어진다.  $m > 1$ 이고  $n > 0$  일 때 수렴하는 Riemann-Zeta 함수식인  $\zeta(m, n) = \sum_{i=0}^{\infty} 1/(i+n)^m$ 을 적용하기 위해 식(4)를 변형하고  $n$ 이  $\infty$ 로 접근할 때의 간섭 상한식을 구한 것은 식(5)과 같다.

$$\begin{aligned} I(n) &\leq \frac{6P_0 N_0}{2^\gamma} \left\{ \sum_{k=1}^n \frac{k-0.5}{(k-0.5)^\gamma} + \sum_{k=1}^n \frac{0.5}{(k-0.5)^\gamma} \right\} \\ &= \frac{6P_0 N_0}{2^\gamma} \left\{ \sum_{k=0}^{n-1} \frac{1}{(k+1-0.5)^{\gamma-1}} + \sum_{k=0}^{n-1} \frac{0.5}{(k+1-0.5)^\gamma} \right\} = I_{\max}(n) \\ I(n=\infty) &\leq \frac{6P_0 N_0}{2^\gamma} \left\{ \sum_{k=0}^{\infty} \frac{1}{(k+0.5)^{\gamma-1}} + 0.5 \sum_{k=0}^{\infty} \frac{1}{(k+0.5)^\gamma} \right\} \\ &= \frac{6P_0 N_0}{2^\gamma} \{ \zeta(\gamma-1, 0.5) + 0.5\zeta(\gamma, 0.5) \} = I_{\max} \end{aligned} \quad (5)$$

### 4. 최소 간섭 하한선

그림 2에서  $N_0$ 개의 단말이 모두  $D+H$  위치에 있을 때 중심 셀로의 간섭이 최소가 된다. 따라서 상한선을 구하는 방식과 같은 방법으로 다음과 같이 최소 간섭 하한선을 계산할 수 있다. 즉, 식(1)에  $r_x = H$ ,  $D_x = D+H$ 를 적용하면  $n$ 겹 셀군으로 부터의 간섭량 하한은 식(6)과 같다.

$$\begin{aligned} I &\geq 6P_0 N_0 n H^\gamma (D+H)^{-\gamma} = 6P_0 N_0 \frac{n H^\gamma}{(\sqrt{3}Rn + H)^\gamma} \\ &= \frac{6P_0 N_0}{2^\gamma} \frac{n}{(n+0.5)^\gamma} = I_{\min}^n \end{aligned} \quad (6)$$

임의의 셀 겹 수  $n$  까지 간섭의 합은 식(7)과 같은 하한 한계식으로 주어진다.

$$I(n) \geq \frac{6P_0 N_0}{2^\gamma} \sum_{k=1}^n \frac{k}{(k+0.5)^\gamma} = I_{\min}(n) \quad (7)$$

식(9)를 변형하고  $n$ 이  $\infty$ 로 접근할 때의 간섭 하한식을 구한 것은 식(8)과 같다.

$$\begin{aligned} I(n=\infty) &\geq \frac{6P_0 N_0}{2^\gamma} \left\{ \sum_{k=0}^{\infty} \frac{1}{(k+1.5)^{\gamma-1}} - 0.5 \sum_{k=0}^{\infty} \frac{1}{(k+1.5)^\gamma} \right\} \\ &= \frac{6P_0 N_0}{2^\gamma} \{ \zeta(\gamma-1, 1.5) - 0.5\zeta(\gamma, 1.5) \} = I_{\min} \end{aligned} \quad (8)$$

### 4. 용량 한계

CDMA 시스템에서 요구되는 성능을 내기 위해서는 신호대 간섭 비 목표가 설정되며 이는 자기셀 간섭과 타셀 간섭량에 의해 결정된다. 식(5)와 식(8)에서 구한 타셀 간섭량 상한과 하한에 의해 다음과 같이 신호대 간섭비 상한과 하한이 결정된다.

$$\left(\frac{S}{I}\right)_{\min} = \frac{P_0}{P_0(N_0-1) + I_{\max}(\infty)} \leq \frac{S}{I} \leq \frac{P_0}{P_0(N_0-1) + I_{\min}(\infty)} = \left(\frac{S}{I}\right)_{\max} \quad (9)$$

임의의 겹수까지 만 타 셀 간섭량에 고려할 경우 시스템의 셀당 사용자 수는 식(10)과 같은 한계식으로 계산된다.

$$\frac{\frac{I}{S} + 1}{1 + 6 \frac{1}{2^\gamma} \sum_{k=l}^n \frac{k}{(k-0.5)^\gamma}} \leq N_0(n) \leq \frac{\frac{I}{S} + 1}{1 + 6 \frac{1}{2^\gamma} \sum_{k=l}^n \frac{k}{(k+0.5)^\gamma}} \quad (10)$$

## 5. 수치 및 시뮬레이션 결과

그림 3은 식(4)(6)에 의한 간섭의 상한의 변화를 타셀 겹수의 함수로 표현한 것으로 각 전파 강쇄 지수에 대해 최대 간섭 하한값으로 정규화 한 것을 표현한 것이다.  $\gamma$ 가 3.0 이상일 경우 타셀이 세 겹 이상이면 최대 간섭의 95% 이상 포함하나 그 이하에서는 20 겹 이상 고려해야 최대 값에 겨우 근접함을 알 수 있다.

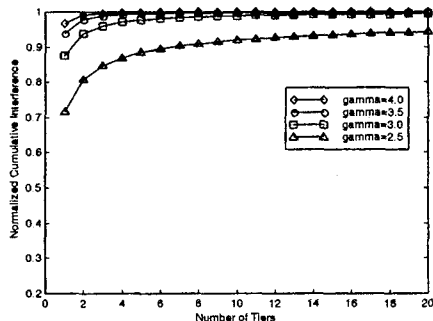


그림 3. 타셀 겹수에 따른 정규화 누적 간섭(상한값)

계산식에 의한 간섭 한계를 확인하기 위해 시뮬레이션을 수행하였다. 임의의 타셀 겹수를 설정할 수 있으며, 각 셀은 중심으로부터 최외각 꼭지점까지의 거리  $R = 1 \text{ Km}$ 인 균일 셀로 하였고, 각 셀에는  $N_0 = 70$  명의 사용자가 전 영역에 균일하게 분포하도록 하였다.  $P_0 = -20 \text{ dBm}$ 으로 전력 제어 되도록 하였으며 쇄도우팅 강쇄는 고려하지 않았고 응성 활동도는 1로 설정하였다. 그림4는  $\gamma=3.0$ 일 때 계산식에 의한 간섭 상한과 하한 그리고 시뮬레이션에 의한 간섭을 타셀 겹수에 따라 변화를 비교한 그림이다. 시뮬레이션 결과가 계산식 상한 하한의 평균을 따라가며 겹수가 증가함에 따라 상한에 근접함을 알 수 있다.

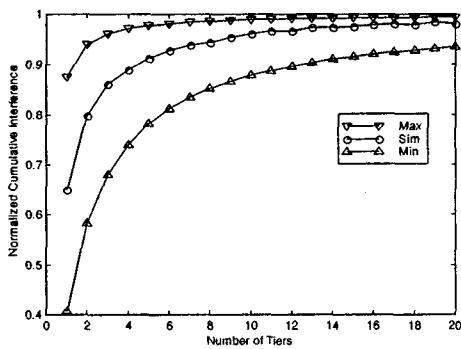


그림 4. 간섭 한계와 시뮬레이션 결과( $\gamma=3.0$ )

그림 5는  $\gamma=3.0$ 일 때 계산식에 의한 용량의 상한과 하한 그리고 시뮬레이션에 의한 간섭을 타셀 겹수에 따라 변화한 것을 비교한 그림이다. 시뮬레이션은 각 셀에서의 사용자 수를 10명에서 100명 까지 증가 시키면서 임의의 위치에 분포 시키고 완벽한 전력 제어가 이루어 지도록 하여 역방향 신호대 간섭비가  $-20 \text{ dB}$  이하이면 통화 품질 이탈(outage)로 간주하고 outage 확률이 0.02 일 때의 사용자 수를 셀의 용량으로 결정하였다. 이 시뮬레이션은 snap-shot 방식으로 10000회 실행하였고 중심 셀과 첫 번째 인접 셀을 포함 총 7개의 셀을 통계에 포함하였다. 계산에 의한 용량 상한선이 시뮬레이션 결과와 근접하게 나타났다.

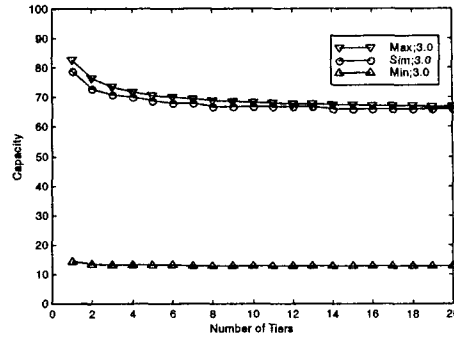


그림 5. 셀 용량의 한계 및 시뮬레이션 결과( $\gamma=3.0$ )

## 6. 결론

본 논문은 CDMA 셀룰라 시스템의 역방향 타셀 간섭량을 Riemann-Zeta 함수를 이용하여 임의의 전파 강쇄 지수에도 적용할 수 있는 근사식을 제시하고 시뮬레이션 결과와 비교하여 그 효율을 살펴보았다. 제안된 근사식을 이용해 계산한 시스템 용량 상한식은 시뮬레이션을 통해 얻은 용량과 근사한 결과를 얻을 수 있었다. 또한 간섭 및 용량 계산 결과를 분석하여 전파 강쇄 지수에 따라 계산 및 시뮬레이션에서 고려 해야 할 타셀 겹수에 많은 차이가 날을 알 수 있었다. 즉, 전파 강쇄 지수가 3.5 이상일 경우는 3 겹 셀까지, 그리고 3.0 이하 일 경우는 10 겹 셀까지 간섭에 포함 시켜야 인정할 만한 결과가 나옴을 알 수 있었다. 따라서 제안된 타셀 간섭 근사식은 복합적인 전파 환경이 고려되어야 할 계층화 시스템에서의 간섭 및 용량 계산과 알고리즘 검증에 유용하게 사용될 수 있을 것으로 생각된다. 향후에는 순방향 타셀 간섭 근사식을 찾는 것과 첫 번째 이웃 겹 셀만 고려하고 나머지 간섭을 보정해서 동일한 결과를 얻을 수 있도록 일반화된 보정 계수를 찾는 것이 필요하다.

## 참고 문헌

- [1] T. S. Rappaport, *Wireless Communications*, Prentice Hall, U.S.A., ISBN 0-13-461-88-1, 1996.
- [2] Viterbi, A.J., Viterbi, A.M., "Other-cell interference in cellular power-controlled CDMA," *IEEE Trans. on Comm.*, Vol. 42, Iss. 2, pp.1501 – 1504, Feb/Mar/Apr 1994.
- [3] O. G. Lauro, A.H. Aghvami, "Resource Allocation in Hierarchical Cellular Systems," pp.51~54, Artech House Publishers, 2000.
- [4] David Munoz-Rodriguez, Osca Uribe-Arambula, Cesar Vargas, Hector Maturino, "Interference Bounds in Power Controlled Systems," *IEEE Communications Letters*, Vol.4, No. 12, pp. 398–401, December 2000.
- [5] Kyoung Il Kim, "CDMA Cellular Engineering Issues," *IEEE Trans. on Vehicular Technology*, Vol. 42, No. 3, pp. 345–350, Agust, 1993.
- [6] J. Miller, V.S. Adamchik, "Derivatives of the Hurwitz Zeta function for ratioanal arguments," *J. Computer Appl. Math.*, No.100, pp.201–206, 1999.
- [7] <http://mathworld.wolfram.com/HurwitzZetaFunction.html>
- [8] Jens Zander, S. L. Kim, "Radio Resource Management for Wireless Networks," pp.336~337, Artech House Publishers, 2001.
- [9] 김호준, 윤상준, "CDMA 시스템 시뮬레이션을 위한 효율적인 셀 모델에 관한 연구," 17-81. 한국통신학회 학계종합학술 발표회, 2002.